

## **Effects of nitric oxide on some physicochemical characteristics of NaCl salinity stress tolerance in Pyrodwarf and OHF69 pear rootstocks**

**Mehri Yousefi<sup>1</sup>, Lotfali Naser<sup>2\*</sup>, Fariborz Zaare-Nahandi<sup>3</sup>**

1- Ph.D Student, Department of Horticultural Sciences, Faculty of Agriculture, Urmia University, Urmia, Iran.  
pnunehryousefi@gmail.com

2- Corresponding Author, Associate Professor, Department of Horticultural Sciences, Faculty of Agriculture, Urmia University, Urmia, Iran.  
l.naseri@urmia.ac.ir

3- Associate Professor, Department of Horticultural Science, Faculty of Agriculture, University of Tabriz,  
Tabriz, Iran.  
fzaare@gmail.com

Received Date: 2021/08/13

Accepted Date: 2021/11/27

### **Abstract**

**Introduction:** Salinity is a significant restriction for the cultivation of horticultural crops. Pear trees are generally classified as salt-sensitive. Nitric oxide (NO) is an endogenous signaling molecule that plays a crucial role in various physiological processes, including salinity stress. Variations in endogenous NO levels and or exogenous NO application has shown to regulate abiotic stress resistance suggesting that this approach may contribute in enhancing crop production under stress conditions. In this research, the effects of NO treatment on some parameters NaCl stress tolerance were investigated in Pyrodwarf and OHF69 pear (*Pyrus communis*) rootstocks in order to evaluate the tolerance of Pyrodwarf and OHF69 pear rootstocks under NaCl stress.

**Material and methods:** The experiment was conducted in the research greenhouse of University of Tabriz in 2018. The experiment was factorial based on a completely randomized design with three replications. Sodium nitroprusside as a NO donor (0, 0.1, 0.5 and 1 mM) was applied to pear rootstocks under NaCl stress (0, 50, 100 and 150 mM) through the root system. NO treatments were applied at four levels along with nutrient solution through the root with the interval of 2 weeks. At the end of the experiment, the parameters of the height increment, relative water content (RWC), malondialdehyde content, proline, H<sub>2</sub>O<sub>2</sub> and the concentration of Na<sup>+</sup> and K<sup>+</sup> of the leaves were evaluated. Data analysis was done using SPSS, version 22, and mean comparison was performed using the Duncan test at a 5% level.

**Results and discussion:** The NO application significantly increased height of pear rootstocks, RWC and proline of leaves, and decreased malondialdehyde, H<sub>2</sub>O<sub>2</sub> content of leaves both OHF69 and Pyrodwarf rootstocks exposed to NaCl stress. These results are in agreement with previous studies in citrus (Tanou et al., 2012) and apple (Aras et al., 2020). NO-treated plants showed a higher amount in both K<sup>+</sup> concentration and K<sup>+</sup>/Na<sup>+</sup> ratio and lower Na<sup>+</sup> concentration. It is important to maintain the balance of nutrients in plant growth under salinity, and SNP treatment reduced the concentration of Na<sup>+</sup> in plants exposed to salinity stress in citrus (Khoshbakht et al., 2018) and strawberry (Kaya et al., 2019). OHF69 rootstocks had higher amounts in relative water content, proline and K<sup>+</sup>/Na<sup>+</sup> ratio than pyrodwarf rootstocks, and also showed lower content of H<sub>2</sub>O<sub>2</sub> and Na<sup>+</sup> concentration. The results of this experiment indicate that 1mM NO application mitigated the damages of NaCl stress. Moreover, OHF69 rootstocks at all salinity levels of NaCl indicated a higher relative tolerance compared to Pyrodwarf.

**Conclusions:** According to the results, NO application mitigated the negative effects of NaCl stress. Also, it is considerable that treated plants with 1 mM SNP under 50 mM NaCl stress had no significant difference compared to the control plants, which can be considered to stress tolerance under short-term salinity condition, and OHF69 rootstocks at all salinity levels of NaCl showed a higher relative tolerance compared to Pyrodwarf.

**Keywords:** H<sub>2</sub>O<sub>2</sub>, proline, pear rootstock, sodium nitroprusside, stress.

## اثرات نیتریک اکسید بر برخی ویژگی‌های فیزیکوشیمیایی تحمل به تنش شوری کلریدسدیم در دو پایه گلابی Pyrodwarf و OHF69

مهری یوسفی<sup>۱</sup> ، لطفعلی ناصری<sup>\*۲</sup> ، فریبرز ذارع نهنده<sup>۳</sup>

۱- دانشجوی دکتری گروه علوم باگبانی، دانشکده کشاورزی، دانشگاه ارومیه، ایران.

pnumehryousefi@gmail.com

۲- نویسنده مسئول، دانشیار گروه علوم باگبانی، دانشکده کشاورزی، دانشگاه ارومیه، ایران.

l.naseri@urmia.ac.ir

۳- دانشیار گروه علوم باگبانی، دانشکده کشاورزی، دانشگاه تبریز، تبریز، ایران.

fzaare@gmail.com

تاریخ پذیرش: ۱۴۰۰/۰۹/۰۶

تاریخ دریافت: ۱۴۰۰/۰۵/۲۲

### چکیده

نیتریک اکسید مولکول پیامرسان گازی در گیاهان است که در فرآیندهای فیزیولوژیکی مختلف از جمله در تنش‌های غیر زیستی نقش مهمی دارد. در این مطالعه، پایه‌های گلابی Pyrodwarf و OHF69 در محلول غذایی رشد داده شدند و آزمایش به صورت فاکتوریل در قالب طرح کاملاً تصادفی با سه تکرار اجرا شد تا اثرات سدیم نیتروپروساید به عنوان رها کننده نیتریک اکسید در چهار سطح (صفر، ۰/۱، ۰/۵ و ۱ میلی مولار) بر برخی ویژگی‌های فیزیولوژیکی و غلظت عناصر سدیم و پتاسیم تحت تنش شوری کلریدسدیم در چهار سطح (صفر، ۵۰ و ۱۰۰ میلی مولار) و نیز مقایسه تحمل تنش دو پایه مورد ارزیابی قرار گیرد. اعمال تیمار نیتریک اکسید در هر دو پایه در معرض تنش کلریدسدیم، به طور معنی داری رشد ارتفاع پایه‌های گلابی، محتوای نسبی آب برگ، پرولین، پتاسیم و نسبت پتاسیم به سدیم در گیاهان را افزایش داد. همچنین، محتوای مالون دی آلدئید،  $H_2O_2$  و غلظت سدیم در برگ ها کاهش یافت. پایه‌های OHF69 در مقایسه با پایه‌های Pyrodwarf محتوای نسبی آب برگ، پرولین و نسبت پتاسیم به سدیم بیشتری داشتند و همچنین محتوای مالون دی آلدئید،  $H_2O_2$  و غلظت سدیم کمتری را نشان دادند. نتایج این آزمایش نشان داد که تیمار نیتریک اکسید آسیب‌های ناشی از تنش شوری کلریدسدیم را با بهبود پارامترهای رشدی و فیزیولوژیکی کاهش داد و با ایجاد تعادل در نسبت پتاسیم به سدیم، منجر به افزایش تحمل پایه‌های گلابی تحت تنش شوری گردید. همچنین پایه‌های OHF69 در تمامی سطوح تیمار شوری کلریدسدیم، ظرفیت تحمل نسبی بیشتری در مقایسه با پایه‌های Pyrodwarf از خود نشان دادند.

**کلمات کلیدی:** تنش، پرولین،  $H_2O_2$ ، سدیم نیتروپروساید، پایه گلابی.

## مقدمه

نحو گیاهان را در مقابل تنفس شوری به وسیله بهبود رشد، محافظت از آسیب اکسیداتیو، بهبود تعادل یونی و افزایش ترکیبات آنتی اکسیدانی فراهم نماید. نیتریک اکسید می‌تواند اثراتش را از طریق تنظیم تولید گونه‌های اکسیژن فعال یا Fancy et al., 2017 تعديل ترکیبات سیستم آنتی اکسیدانی نشان دهد (Aras et al., 2020). اعمال تیمار نیتریک اکسید در درختان سیب با تاثیر بر ویژگی‌های فیزیولوژیکی منجر به افزایش تحمل گیاهان تحت تنفس شوری گردید (Liang et al., 2018). کاربرد نیتریک اکسید تحمل به شوری را به وسیله القاء فعالیت آنتی اکسیدانی در مركبات (*Citrus aurantium*) (Tanou et al., 2012) و بهبود تعادل تغذیه‌ای و پارامترهای رشدی در مركبات (Khoshbakht et al., 2018) افزایش داد. هدف از این تحقیق بررسی تأثیر نیتریک اکسید بر برخی واکنش‌های فیزیولوژیکی دو رقم Pyrodwarf و OHF69 پایه‌های گلابی، تحت شرایط تنفس شوری کلریدسدیم و بررسی تأثیر نیتریک اکسید بر سازگاری فیزیولوژیکی دو پایه گلابی تحت تنفس شوری بود. در این پژوهش تیمار سدیم نیتروپروساید به عنوان رها کننده نیتریک اکسید از طریق سیستم ریشه‌ای پایه‌های گلابی اروپایی (*P. communis*) دو رقم Pyrodwarf و OHF69 در شرایط تنفس شوری کلریدسدیم، استفاده و اعمال شد.

## مواد و روش‌ها

این آزمایش در گلخانه تحقیقاتی دانشکده کشاورزی دانشگاه تبریز در ایستگاه تحقیقاتی خلعت پوشان در سال ۱۳۹۷ انجام گرفت. پایه‌های حاصل از تکثیر ریزازدیادی Pyrodwarf و OHF69 در گلدان پلاستیکی محتوی محیط کشت پرلیت و ورمیکولیت به نسبت حجمی ۱:۱ تحت شرایط سیستم گلخانه هیدرопونیک انتقال داده شد. بعد از حدود سه ماه رشد رویشی به اندازه ۲۰ تا ۳۰ سانتی‌متر ارتفاع گیاهان و گسترش سیستم ریشه‌ای پایه‌های گلابی در گلدان، گیاهان آماده اعمال تیمار شدند. طرح آزمایشی مورداستفاده، به صورت

شوری یکی از مهم‌ترین عوامل محدود کننده رشد و عملکرد گیاه است. درختان میوه مناطق معتدل‌های گیاهان حساس به شوری هستند (Fu et al., 2013). گیاهان در معرض تنفس شوری به علت غلظت‌های زیاد نمک و تنفس اسمزی، با کمبود آب مواجه می‌شوند و به علت سمیت یونی ناشی از تجمع بالای سدیم و کلر در بافت‌های گیاه، منجر به عدم تعادل غذایی در سلول‌های گیاه می‌گردد (Liang et al., 2018). گیاهان نه تنها در سرعت جذب عناصر غذایی بلکه در شیوه توزیع عناصر غذایی درون گیاه نیز باهم متفاوت هستند. دستریسی عناصر غذایی، جذب و توزیع آن‌ها در داخل بافت گیاهی تحت شرایط تنفس می‌تواند منجر به کاهش رشد گیاه شود (Hasanuzzaman et al., 2013). ترکیبات یونی و اسمزی تنفس شوری، مشابه دیگر تنفس‌های غیر زیستی، منجر به تنفس اکسیداتیو از طریق افزایش در تولید انواع گونه‌های اکسیژن فعال و ناتوانی گیاه در مهار آن می‌گردد که درنهایت رشد و عملکرد گیاه را به علت اثرات منفی روی تعادل یونی و روابط آبی متأثر می‌سازد (Liang et al., 2018).

درختان گلابی به عنوان گیاهان حساس به شوری به شمار می‌آیند (Wang et al., 2015). تحمل نسی گیاه به تنفس شوری می‌تواند با انتخاب مناسب پایه‌ها افزایش یابد (Amiri and Eshghi, 2015). پایه‌های Pyrodwarf و OHF69 متعلق به جنس *Pyrus communis* از پایه‌های گلابی اروپایی هستند. پایه‌های گلابی Pyrodwarf به دلیل قدرت پاکوتاه کننده کم مورد توجه است و پایه‌های گلابی OHF69 نیز دارای ویژگی‌های مطلوب زیادی هستند که از لحاظ تحمل به شرایط شوری مطالعات اندکی روی آن‌ها صورت گرفته است (Abdollahi, 2011).

در سلول‌های گیاهی، نیتریک اکسید در واکنش به بسیاری از تنفس‌های غیر زیستی مانند شوری درگیر است. شواهد نشان می‌دهد که کاربرد خارجی رها کننده نیتریک اکسید مانند سدیم نیتروپروساید، می‌تواند رشد و

(1973) انجام شد. بدین منظور، پودر منجمد شده برگ در میکروتیوب، با محلول آبی اسید سولفوسالیسیلیک هموژن گردید و بعد از سانتریفیوژ، به آن معرف نین هیدرین و اسید استیک گلاسیال افزوده و میکروتیوب‌ها به مدت یک ساعت در حمام آب گرم قرار داده شدند. در انتهای جذب نور توسط دستگاه اسپکتروفتومتر (Spectronic 20D) در طول موج ۵۲۰ نانومتر قرائت گردید. برای سنجش محتوای  $\text{H}_2\text{O}_2$ ، بعد از ساییدن نمونه برگی با نیتروژن مایع، با هیدروکسیل آمین و با فر فسفات پتابسیم ( $\text{pH} = 6/5$ ) در حمام یخ مخلوط گردید و سانتریفیوژ شد. سپس ۱۰۰ میکرومولار از عصاره با ۱۰۰ میکرومولار سولفات آمونیوم فریک، ۲۵ میلیمولار اسیدسولفوریک، ۲۵۰ میکرومولار زایلنول نارنجی و ۱۰۰ میلیمولار سوربیتول در حجم کل دو میلیلیتر افزوده شد. بعد از ۳۰ دقیقه میزان جذب در طول موج ۵۶۰ نانومتر قرائت گردید (Gay et al., 1999). به منظور اندازه‌گیری عنصر غذایی سدیم و پتابسیم، در پایان آزمایش نمونه‌های خشک شده و پودر شده برگی با اسید نیتریک عصاره‌گیری شدند. عنصر سدیم و پتابسیم به روش نشر شعله آبی توسط دستگاه فلیم فتوتمتر (Flame photometer, Waling et al., 1989) اندازه‌گیری شد (410 نسخه SPSS نسخه ۲۲). تجزیه واریانس داده‌ها با نرم‌افزار Excel انجام شد. مقایسه میانگین داده‌ها با استفاده از آزمون چند دامنه‌ای دانکن در سطح احتمال پنج درصد انجام گردید. رسم شکل‌ها با استفاده از نرم‌افزار Excel انجام گرفت.

## نتایج و بحث

### ارتفاع پایه‌های گلابی، محتوای نسبی آب برگ، مالون دی آلدئید، پرولین و $\text{H}_2\text{O}_2$

نتایج جدول تجزیه واریانس نشان داد که تیمارهای شوری کلریدسدیم، نیتریک اکسید و پایه‌های گلابی Pyrodwarf و OHF69 تفاوت معنی‌داری را در محتوای نسبی آب برگ، مالون دی آلدئید، پرولین و  $\text{H}_2\text{O}_2$  نشان دادند (جدول ۱).

فاکتوریل در قالب طرح کاملاً تصادفی با سه تکرار بود. فاکتور اول دو نوع پایه گلابی OHF69 و Pyrodwarf، فاکتور دوم شوری در غلاظت‌های ۰، ۵۰، ۱۰۰ و ۱۵۰ میلی‌مولار کلریدسدیم و فاکتور سوم تیمارهای نیتریکاکسید که از سدیم‌نیتروپروساید (آزادکننده نیتریکاکسید) در چهار سطح ۰/۱، ۰/۵ و ۱ میلی‌مولار همراه با محلول غذایی هوگلن استفاده شدند. مرحله اول تیمار نیتریکاکسید حدود دو ماه بعد از استقرار گیاهان در گلدان، ۴۸ ساعت قبل از اعمال تیمار شوری کلریدسدیم و مراحل بعد با فاصله دو هفته‌ای در سه مرحله اعمال شدند. برای اندازه‌گیری ارتفاع پایه‌های گلابی، ارتفاع گیاهان داخل گلدان قبل از اعمال تیمارها در شروع آزمایش و نیز پس از خاتمه اعمال تیمارها در پایان آزمایش در گلخانه اندازه‌گیری شدند و اختلاف ارتفاع به صورت افزایش ارتفاع پایه‌های گلابی بیان شد. برداشت نمونه‌های گیاهی به‌منظور بررسی خصوصیات فیزیولوژیکی و بیوشیمیایی در هفته هفتم بعد از اعمال شوری انجام گرفت. محتوای نسبی آب برگ بر اساس روش Repellin و همکاران (1997) اندازه‌گیری شد. بدین منظور وزن تر (FW) دیسک‌های برگ اندازه‌گیری شد، سپس وزن آنها در حالت تورم کامل (TW) به دست آمد. وزن خشک دیسک‌ها (DW) پس از قرار دادن آنها در دمای ۷۰ درجه سلسیوس به مدت ۴۸ ساعت اندازه‌گیری شد و درنهایت محتوای نسبی آب برگ، بر اساس رابطه  $RWC = [(FW-DW)/(TW-DW)] \times 100$  سنجش پراکسیداسیون لیپیدهای غشاء با اندازه‌گیری میزان مالون دی آلدئید (MDA) به عنوان فرآورده نهایی (Heath and Packer, 1968) و در نهایت کمپلکس رنگی حاصل از واکنش مالون دی آلدئید و اسید تیوباریبوتیک، به‌وسیله اسپکتروفتومتر در دو طول موج ۵۳۲ و ۶۰۰ نانومتر قرائت شد. اندازه‌گیری میزان پرولین آزاد برگ، بر اساس روش Bates و همکاران

جدول ۱- تجزیه واریانس تاثیر سطوح مختلف شوری کلرید سدیم و تیمار سدیم نیتروپروساید بر ارتفاع و برخی ویژگی‌های فیزیولوژیکی و عناصر سدیم و پتاسیم برگ‌ها

Analysis of variance the effect of different levels of NaCl and SNP treatment on height increment and some physiological characteristics and  $\text{Na}^+$  and  $\text{K}^+$  of leaves Table 1-

Average of squares									
S.O.V	DF	Height increment	RWC	MDA	Proline	$\text{H}_2\text{O}_2$	Na	K	K/Na
Rootstock	1	525.00**	240.45**	47.35**	89.71**	0.06**	15.93**	7.04**	46.48**
NaCl	3	1207.80**	2306.16**	44.61**	916.04**	0.42**	135.10**	38.09**	171.74**
NO	3	199.04**	425.29**	14.11**	65.95**	0.02**	8.12**	9.52**	10.08**
Rootstock×NaCl	3	37.43*	30.76*	0.36**	1.96*	0.00*	1.06*	0.10ns	13.74**
Rootstock×SNP	3	1.28ns	6.58ns	0.11**	0.13ns	0.01**	0.12ns	0.39ns	0.80ns
NaCl×NO	9	1.38ns	42.33**	0.11**	1.68**	0.00ns	0.66*	0.40ns	1.30ns
Rootstock×NaCl×NO9	2.47ns	8.22ns	0.00ns	0.01ns	0.00ns	0.15ns	0.11ns	0.20ns	
Error	64	9.29	9.50	0.00	0.52	0.00	0.32	0.40	0.95
CV.(%)		20.36	4.49	0.58	3.57	1.57	12.63	5.67	26.65

ns, \* و \*\* به ترتیب غیر معنی دار، معنی دار در سطح ۵٪ و ۱٪ ns, \* and \*\* are non-significant, significant at 5% and 1%

آسیب‌پذیری بیشتر پایه‌های Pyrodwarf در مقایسه با پایه‌های OHF69 تحت تنفس شوری می‌باشد. کاربرد نیتریک‌اکسید در پایه‌های سیب (Aras et al., 2020) و مرکبات (Khoshbakht et al. 2018) منجر به افزایش طول شاخساره گیاهان تحت تنفس شوری گردید (Aras et al., 2020). در تحقیق حاضر، تیمار نیتریک‌اکسید در غلظت یک میلی مولار، کاهش رشد پایه‌های گلابی را به خصوص در غلظت‌های شوری کلرید سدیم ۵۰ میلی مولار تا حدودی جبران نمود بطوریکه تفاوت معنی داری با گیاهان شاهد نشان ندادند (شکل ۱).

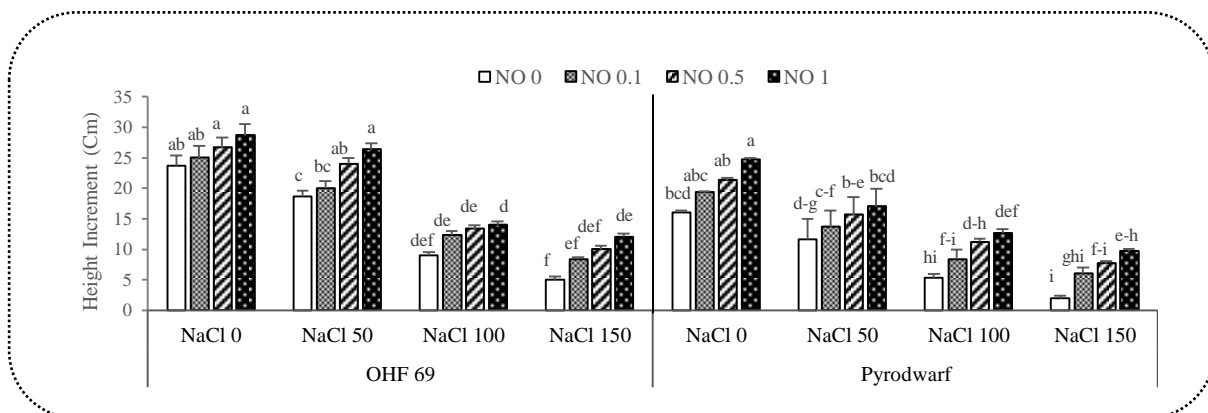
با افزایش سطوح شوری، محتوای نسبی آب برگ در پایه‌های گلابی کاهش یافت. تیمار نیتریک‌اکسید منجر به افزایش محتوای نسبی آب برگ‌ها گردید (شکل ۲). با افزایش سطح نیتریک‌اکسید محتوای نسبی آب برگ تحت تنفس افزایش یافت، و اعمال نیتریک‌اکسید در غلظت یک میلی مولار در گیاهان تیمار شوری ۵۰ میلی مولار تفاوت معنی داری را با گیاهان شاهد نشان ندادند. محتوای نسبی آب برگ به‌طور معنی داری در پایه‌های OHF69 بیشتر از پایه‌های پیرو دوراف بود (شکل ۲).

تنفس کلرید سدیم، رشد ارتفاع پایه‌های گلابی OHF69 و Pyrodwarf را کاهش داد. ارتفاع پایه‌های OHF69 در همه تیمارها در مقایسه با پایه‌های Pyrodwarf بیشتر بود (شکل ۱). کاربرد نیتریک‌اکسید از طریق سیستم ریشه‌ای به طور معنی داری رشد پایه‌های گلابی را در مقایسه با گیاهان بدون تیمار نیتریک‌اکسید در هر دو پایه‌های گلابی OHF69 و Pyrodwarf افزایش داد و با افزایش غلظت نیتریک‌اکسید میزان رشد و ارتفاع پایه‌های گلابی در هر دو پایه بیشتر شد (شکل ۱).

در تحقیقات گذشته، پایه‌های گلابی آسیایی *Pyrus betulifolia* تحت تنفس کلرید سدیم در مقایسه با پایه‌های گلابی *P. pyrifolia* تحمل تنفس بیشتری نشان دادند (Tamura, 2012). پایه‌های گلابی در گزی (*P. communis*) (Mirabdulbaghi Zafari et al., 2018) سطوح پایین شوری را برای دوره کوتاه تا حدودی متتحمل بودند (Zafari et al., 2018). همچنین (2017) نشان داد که ارقام گلابی پیوند شده روی پایه‌های گلابی OHF69 تا سطوح شوری چهار دسی زیمنس بر متر کاهش رشد شاخساره نشان ندادند، روی پایه‌های Pyrodwarf ، ارتفاع شاخساره کاهش یافت که نشان دهنده

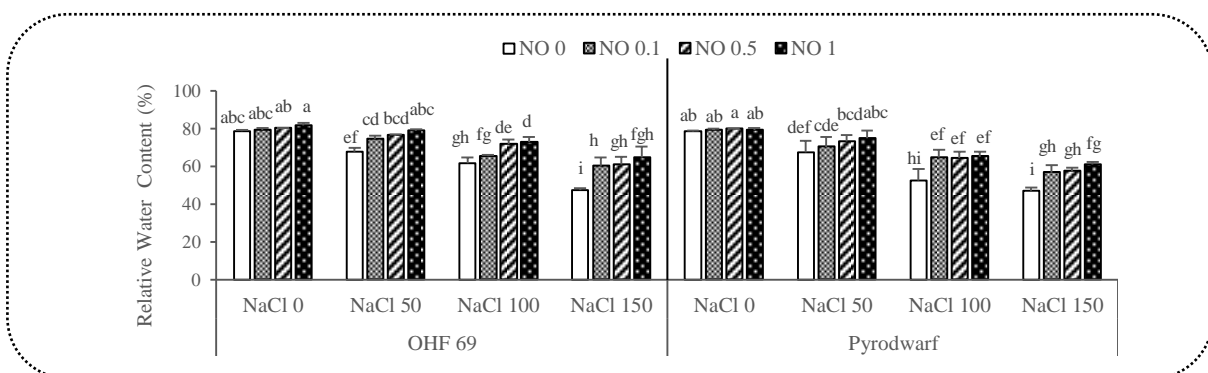
افزایش داد (Khoshbakht et al., 2018). محتوای نسبی آب برگ در پایه‌های سبب تخت تنش شوری کاهش یافت و اعمال تیمار نیتریکاکسید در این پایه‌ها محتوای نسبی آب برگ را افزایش داد (Aras et al., 2020). تیمار نیتریکاکسید با تأثیر بر جذب عناصر غذایی (Ahmad et al., 2013) و القای انباشت پرولین (Ahmad et al., 2016) منجر به کاهش پتانسیل آب سلول‌ها، جذب آب بیشتر و در نتیجه افزایش محتوای نسبی آب برگ در گیاه می‌شود.

کاهش محتوی نسبی آب، ناشی از تنش و دهیدراسیون در سطح سلولی است و دلیل آن کاهش پتانسیل اسمزی محیط ریشه و کاهش توان گیاه در جذب آب می‌باشد (Liu et al., 2013). توانایی حفظ آب نسبی در شرایط شوری بیانگر استحکام دیواره سلولی و تحمل گیاه در برابر آسیب‌های ناشی از تنش است (Ahmad et al., 2016). اعمال تیمار سدیم نیتروپرساید در پایه‌های مرکبات تحت تنش شوری منجر به افزایش محتوای نسبی آب برگ گردید و تحمل درختان مرکبات تحت تنش شوری را



شکل ۱- تاثیر تیمار سدیم نیتروپرساید در سطوح صفر، ۰/۱، ۰/۵ و ۱ میلی مولار بر ارتفاع پایه‌های گلابی تحت تنش کلریدسدیم در غلظت‌های صفر، ۵۰، ۱۰۰ و ۱۵۰ میلی مولار. حروف مشابه نشان دهنده عدم وجود اختلاف معنی دار ( $P \leq 0.05$ ) بر اساس آزمون چند دامنه ای دانکن می‌باشد (مقایسه پایه‌ها مستقل از هم انجام شده است).

Figure 1. Effect of SNP treatment at levels 0, 0.1, 0.5 and 1 mM on the height increment of pear rootstocks under NaCl stress at 0, 50, 100 and 150 mM concentrations. The same letter indicates no significant differences ( $P \leq 0.05$ ) according to Duncan's multiple range test (comparisons of rootstocks are independent of each other).



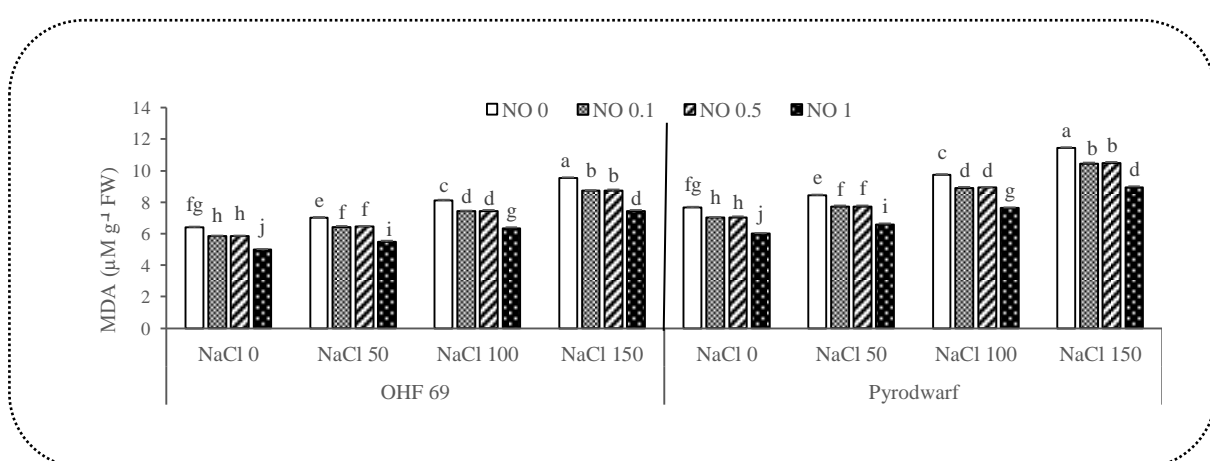
شکل ۲- تاثیر تیمار سدیم نیتروپرساید در سطوح صفر، ۰/۱، ۰/۵ و ۱ میلی مولار بر محتوای نسبی آب برگ پایه‌های گلابی تحت تنش کلریدسدیم در غلظت‌های صفر، ۵۰، ۱۰۰ و ۱۵۰ میلی مولار. حروف مشابه نشان دهنده عدم وجود اختلاف معنی دار ( $P \leq 0.05$ ) بر اساس آزمون چند دامنه ای دانکن می‌باشد (مقایسه پایه‌ها مستقل از هم انجام شده است).

Figure 2. Effect of SNP treatment at levels 0, 0.1, 0.5 and 1 mM on the leaf relative water content of pear rootstocks under NaCl stress at 0, 50, 100 and 150 mM concentrations. The same letter indicates no significant differences ( $P \leq 0.05$ ) according to Duncan's multiple range test (comparisons of rootstocks are independent of each other).

است، تنش شوری نفوذپذیری دیواره سلولی را افزایش می‌دهد در حالیکه تیمار نیتریکاکسید نقش حفاظتی برای سلول داشته و از افزایش نفوذپذیری دیواره سلولی، تولید رادیکال‌های آزاد و مالوندی‌آلدئید جلوگیری می‌کند و با افزایش فعالیت آنتی‌اکسیدانی نقش حفاظتی برای گیاه دارد (Khan et al., 2015). محتوای مالوندی‌آلدئید در گلابی افرایش (P. communis L. Ballad) تحت تنش کلریدسدیم به عنوان شاخصی برای آسیب‌پذیری و میزان تحمل به تنش کلریدسدیم در دو تیپ وحشی و تاریخته گلابی، مورد مطالعه قرار گرفت (Wen et al., 2011). اعمال تیمار سدیم نیترو پروساید آسیب ایجادشده به وسیله پراکسیداسیون و محتوای مالوندی‌آلدئید را در برگ‌های مرکبات (Yang et Aras et al., 2012; Khoshbakht et al., 2018), سیب (Kaya et al., 2019) و گوجه‌فرنگی (2020)، توت فرنگی (Manai et al., 2014) تحت شرایط تنش شوری کاهش داد. در این آزمایش نیز پایه‌های OHF69 در مقایسه با Pyrodwarf محتوای مالوندی‌آلدئید کمتر و درنتیجه پراکسیداسیون لیپید کمتری را نشان دادند (شکل ۳).

با افزایش تنش کلریدسدیم محتوای مالوندی‌آلدئید به عنوان شاخص پراکسیداسیون لیپیدهای غشاء به طور معنی‌داری در پایه‌های گلابی افزایش یافت. پایه‌های Pyrodwarf در مقایسه با OHF69 به طور معنی‌داری محتوای مالوندی‌آلدئید بیشتری داشتند که نشانگر آسیب‌پذیری بیشتر پایه‌های Pyrodwarf در برابر تنش شوری نسبت به OHF69 می‌باشد (شکل ۳). تیمار نیتریکاکسید تأثیر معنی‌داری روی کاهش محتوای مالوندی‌آلدئید برگ‌های گیاهان تحت تنش کلریدسدیم داشت و با افزایش غلظت نیتریکاکسید محتوای مالوندی‌آلدئید نیز کاهش یافت (شکل ۳).

تیمار نیتریکاکسید می‌تواند اثرات مضر تنش شوری روی رشد را به وسیله کاهش تولید رادیکال آزاد ناشی از شوری، آسیب غشاء و نشت الکترولیت کاهش دهد که درنتیجه تحمل تنش شوری را بهبود می‌بخشد (Ahmad et al., 2016). افزایش در محتوای مالوندی‌آلدئید در سلول‌های گیاهی منجر به کاهش سیالیت غشاء، افزایش منافذ سلولی، آسیب به پروتئین‌ها و کانال‌های غشایی

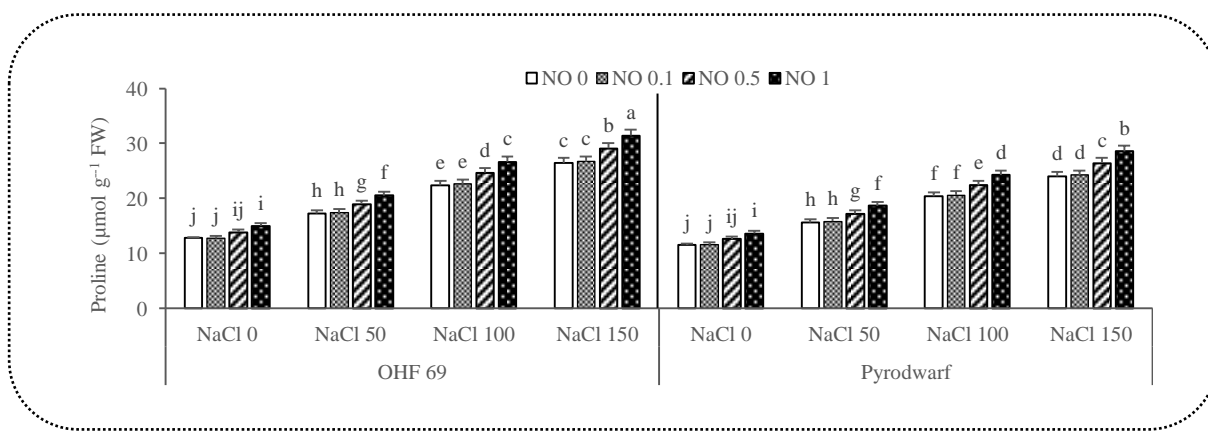


شکل ۳- تأثیر تیمار سدیم نیتروپروساید در سطوح صفر، ۰.۱، ۰.۵ و ۱ میلی مولار بر محتوای مالوندی‌آلدئید پایه‌های گلابی تحت تنش کلریدسدیم در غلظت‌های صفر، ۵۰، ۱۰۰ و ۱۵۰ میلی مولار. حروف مشابه نشان دهنده عدم وجود اختلاف معنی‌دار (P ≤ 0.05) بر اساس آزمون چند دامنه‌ای دانکن می‌باشد (مقایسه پایه‌ها مستقل از هم انجام شده است).

Figure 3. Effect of SNP treatment at levels 0, 0.1, 0.5 and 1 mM on the malondialdehyde content of leaves of pear rootstocks under NaCl stress at 0, 50, 100 and 150 mM concentrations. The same letter indicates no significant differences (P ≤ 0.05) according to Duncan's multiple range test (comparisons of rootstocks are independent of each other).

می‌کند که منجر به حفظ سلول در برابر آسیب اکسیداتیو می‌شود (Ahmad et al., 2016; Jogaiah et al., 2013). محتوای پرولین در گیاهان گلابی تحت تنش شوری به طور قابل توجهی افزایش یافت (Wen et al., 2011). تأثیر نیتریکاکسید بر انباشت پرولین در گیاه تحت تنش شوری مرتبط با کاهش تنش اکسیداتیو و افزایش فعالیت پرولین دهیدروژنаз، آنزیمی که محدودیت تغییر پرولین را کاتالیز می‌کند، نیز نشان داده شده است (Poór et al., 2015). نیتریکاکسید با تجمع پرولین نقش مهمی در حفاظت از آنزیم‌های سیستم آنتی‌اکسیدان دارد و اعمال تیمار نیتریکاکسید محتوای پرولین را تحت شرایط تنش کلریدسدیم در گیاهان گوجه‌فرنگی (Hayat et al., 2013)، فلفل (Ahmad et al., 2019) و نخود (Shams et al., 2016) افزایش داد و منجر به افزایش تحمل گیاهان تحت تنش گردید.

تنش کلریدسدیم منجر به افزایش معنی‌دار محتوای پرولین در برگ‌های گیاهان گردید و محتوای پرولین برگ‌ها با افزایش سطوح تنش در هر دو پایه افزایش یافت. پایه‌های OHF69 محتوای پرولین بیشتری را نسبت به پایه‌های Pyrodwarf تحت تنش کلریدسدیم نشان دادند. اعمال نیتریکاکسید منجر به افزایش معنی‌دار پرولین برگ‌های پایه‌های گلابی OHF69 و Pyrodwarf تحت تنش کلریدسدیم گردید و همچنین محتوای پرولین گیاهان تحت تنش با افزایش سطوح نیتریکاکسید افزایش بیشتری نشان داد. کمترین محتوای پرولین در تیمار شاهد پایه Pyrodwarf و بیشترین محتوای پرولین در تیمار یک میلی‌مولار نیتریکاکسید تحت تنش کلریدسدیم ۱۵۰ میلی‌مولار در پایه OHF69 مشاهده شد (شکل ۴). پرولین یکی از عمومی‌ترین اسمولیت‌ها در گیاهان تحت تنش و به عنوان حذف‌کننده رادیکال آزاد عمل



شکل ۴- تأثیر تیمار سدیم نیتروپروساید در سطوح صفر، ۰، ۰.۱، ۰.۵ و ۱ میلی‌مولار بر محتوای پرولین پایه‌های گلابی تحت تنش کلریدسدیم در غلاظت‌های صفر، ۵۰، ۱۰۰ و ۱۵۰ میلی‌مولار. حروف مشابه نشان دهنده عدم وجود اختلاف معنی‌دار ( $P \leq 0.05$ ) بر اساس آزمون چند دامنه ای دانکن می‌باشد (مقایسه پایه‌ها مستقل از هم انجام شده است).

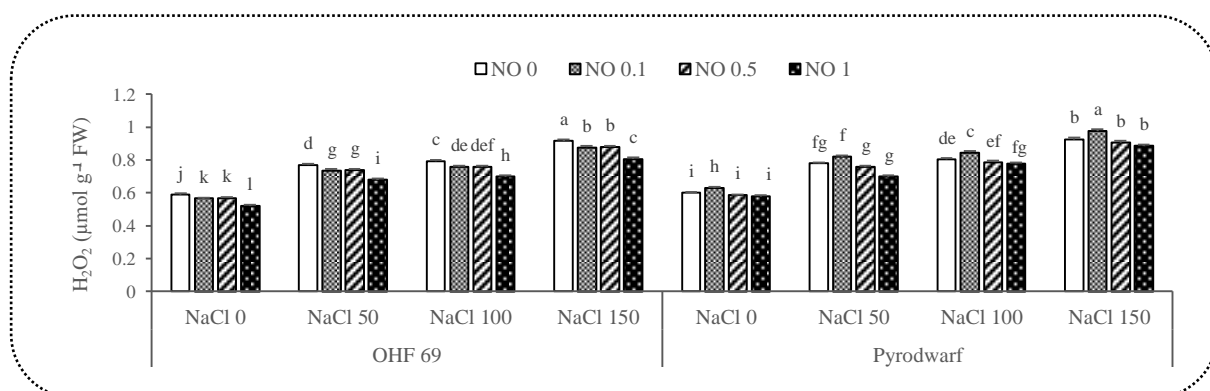
**Figure 4. Effect of SNP treatment at levels 0, 0.1, 0.5 and 1 mM on the proline content in leaves of pear rootstocks under NaCl stress at 0, 50, 100 and 150 mM concentrations. The same letter indicates no significant differences ( $P \leq 0.05$ ) according to Duncan's multiple range test (comparisons of rootstocks are independent of each other).**

OHF69 بود. اعمال تیمار نیتریکاکسید در غلاظت یک میلی‌مولار به طور معنی‌داری منجر به کاهش محتوای  $\text{H}_2\text{O}_2$  در گیاهان گردید (شکل ۵). تنش شوری کلریدسدیم منجر به افزایش محتوای

شوری کلریدسدیم سبب افزایش معنی‌داری در محتوای  $\text{H}_2\text{O}_2$  در برگ‌های هر دو پایه OHF69 و Pyrodwarf گردید و پایه Pyrodwarf به طور معنی‌داری دارای محتوای  $\text{H}_2\text{O}_2$  بیشتری در مقایسه با پایه‌های

et al., 2014) با افزایش نیتریک اکسید درون زاد آنیون سوپراکسید با نیتریک اکسید ترکیب شده و پراکسی نیتریت (ONOO<sup>-</sup>) تولید می شود در نتیجه آنیون سوپراکسید به H<sub>2</sub>O<sub>2</sub> تبدیل نمی شود. بنابراین با اعمال تیمار نیتریک اکسید (Fazelian et al., 2012) میزان H<sub>2</sub>O<sub>2</sub> کاهش می یابد (Kaya et al., 2019). محتوای H<sub>2</sub>O<sub>2</sub> در مرکبات تحت تنش شوری افزایش یافت و اعمال تیمار سدیم نیترو پروساید منجر به کاهش محتوای H<sub>2</sub>O<sub>2</sub> در برگ های گیاهان و افزایش تحمل گیاهان تحت تنش شوری گردید و پارامترهای رشد گیاهان در معرض شوری را بهبود بخشید (Khoshbakht et al., 2018). تنش شوری در توت فرنگی نیز محتوای H<sub>2</sub>O<sub>2</sub> را افزایش داد و با اعمال تیمار نیتریک اکسید منجر به کاهش محتوای H<sub>2</sub>O<sub>2</sub> گردید (Egbichi et al., 2016).

H<sub>2</sub>O<sub>2</sub> در گیاهان گردید و اعمال نیتریک اکسید فعالیت آنزیم های حذف کننده گونه های اکسیژن فعال را القاء کرد و تجمع H<sub>2</sub>O<sub>2</sub> را در گیاهان تحت تنش کلریدسدیم کاهش داد (Lin et al., 2012). نقش اساسی نیتریک اکسید در شرایط تنش با تأثیر بر القای فعالیت آنزیم های آنتی اکسیدان و حذف رادیکال های اکسیژن مانند H<sub>2</sub>O<sub>2</sub> می باشد (Egbichi et al., 2014) نیتریک اکسید در تحمل به شوری مرکبات مرتبط هستند (Tanou et al., 2012). اعمال تیمار نیتریک اکسید محتوای H<sub>2</sub>O<sub>2</sub> را در گیاهان تحت تنش کاهش داد و در نتیجه آن، تحمل گیاهان به تنش شوری افزایش یافت (Ahmad et al., 2016). نقش اساسی نیتریک اکسید در شرایط تنش با تأثیر بر القای فعالیت آنزیم های آنتی اکسیدان و جاروب Egbichi کردن رادیکال های اکسیژن مانند H<sub>2</sub>O<sub>2</sub> می باشد (Egbichi et al., 2016).



شکل ۵- تأثیر تیمار سدیم نیتروپروساید در سطوح صفر، ۵۰، ۱۰۰ و ۱۵۰ میلی مولار بر محتوای H<sub>2</sub>O<sub>2</sub> پایه های گلابی تحت تنش کلریدسدیم در غلاظت های صفر، ۵۰، ۱۰۰ و ۱۵۰ میلی مولار. حروف مشابه نشان دهنده عدم وجود اختلاف معنی دار ( $P \leq 0.05$ ) بر اساس آزمون چند دامنه ای دانکن می باشد (مقایسه پایه ها مستقل از هم انجام شده است).

**Figure 5. Effect of SNP treatment at levels 0 , 0.1, 0.5 and 1 mM on the H<sub>2</sub>O<sub>2</sub> content of pear rootstocks under NaCl stress at 0, 50, 100 and 150 mM concentrations. The same letter indicates no significant differences ( $P \leq 0.05$ ) according to Duncan's multiple range test (comparisons of rootstocks are independent of each other).**

غلاظت سدیم در برگ های پایه های گلابی شد. پایه های گلابی OHF69 به طور معنی داری در مقایسه با پایه های Pyrodwarf تجمع سدیم کمتری را تحت تنش کلریدسدیم نشان دادند (شکل ۶). اعمال تیمار نیتریک اکسید از طریق سیستم ریشه ای به طور معنی داری منجر به کاهش غلاظت سدیم در برگ های پایه های گلابی OHF69 و Pyrodwarf

#### عناصر سدیم، پتابسیم و نسبت پتابسیم به سدیم

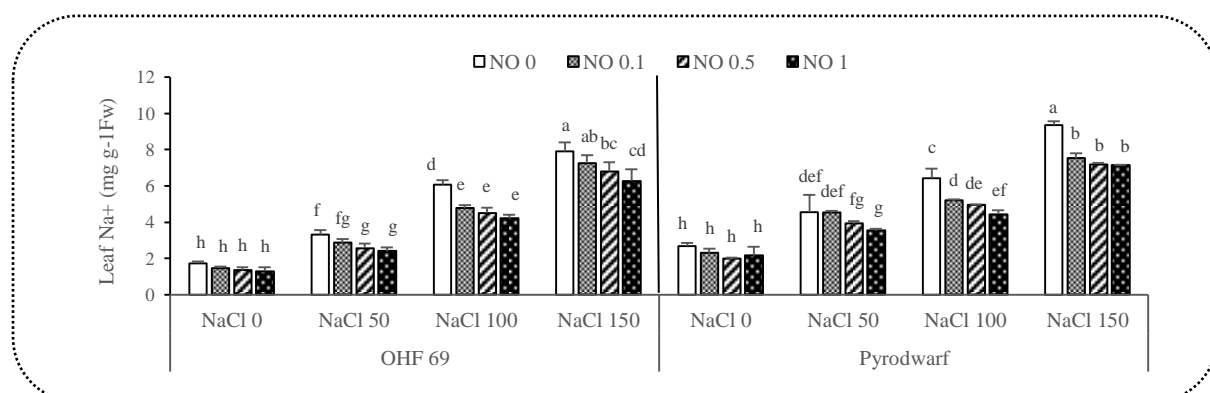
تش شوری کلریدسدیم، تیمار نیتریک اکسید، نوع پایه های گلابی OHF69 و Pyrodwarf بر غلاظت سدیم، پتابسیم و نسبت پتابسیم به سدیم برگ ها تأثیر معنی داری نشان دادند (جدول ۱).

شوری کلریدسدیم به طور معنی داری منجر به افزایش

افزایش تحمل تنش شوری با افزایش فعالیت پمپ پروتونی و آنتی پورت  $\text{Na}^+/\text{H}^+$  تونوپلاست شد (Ziogas and Molassiotis, 2015). تیمار نیتریکاکسید جذب یون‌های سدیم را هم در برگ‌ها و هم ریشه انگور کاهش داد (Amiri and Eshghi, 2015). غلظت سدیم در برگ‌های پایه‌های مرکبات تحت تنش کلریدسدیم افزایش یافت و اعمال نیتریکاکسید غلظت سدیم را برگ‌های گیاهان کاهش داد (Khoshbakht et al., 2018; Jamali et al., 2015; Shams et al., 2019; Kaya et al., 2019) تحت تنش کلریدسدیم منجر به کاهش انباشت سدیم در گیاهان گردید. در این آزمایش اعمال تیمار نیتریکاکسید با بهبود شرایط فیزیولوژیکی رشد پایه‌های گلابی OHF69 و Pyrodwarf، منجر به کاهش غلظت سدیم در برگ‌های گیاهان گردید.

تحت تنش کلریدسدیم گردید (شکل ۶). همچنین پایه‌های گلابی OHF69 و Pyrodwarf تحت تنش شوری کلریدسدیم ۵۰ میلی مولار با اعمال نیتریکاکسید در غلظت‌های ۱ میلی مولار تفاوت معنی داری را با گیاهان شاهد خود نشان ندادند. بیشترین غلظت سدیم در گیاهان تحت تنش کلریدسدیم ۱۵۰ میلی مولار بدون کاربرد نیتریکاکسید و کمترین غلظت سدیم نیز در گیاهان شاهد مشاهده گردید (شکل ۶).

تشخیص یون‌های سدیم و پتاسیم به دلیل شباهت یون هیدراته آن‌ها، توسط ناقل غشاء سلولی دشوار است که باعث تجمع و سمیت سدیم در سلول‌های گیاه تحت شرایط شوری می‌شود (Amiri and Eshghi, 2015). نیتریکاکسید به عنوان مولکول پیام‌رسان در شرایط تنش شوری، فعالیت پمپ‌های  $\text{H}^+$ -PPase و  $\text{H}^+$ -ATPase را القاء نمود که منجر به افزایش انتقال  $\text{H}^+$ - $\text{Na}^+$  و  $\text{H}^+$ - $\text{Na}^+$  تبدیل شود.



شکل ۶- تاثیر تیمار سدیم نیتروپرساید در سطوح صفر، ۰، ۰.۱، ۰.۵ و ۱ میلی مولار بر غلظت سدیم پایه‌های گلابی تحت تنش شوری کلریدسدیم در غلظت‌های صفر، ۵۰، ۱۰۰ و ۱۵۰ میلی مولار. حروف مشابه نشان دهنده عدم وجود اختلاف معنی دار ( $P \leq 0.05$ ) بر اساس آزمون چند دامنه ای دانکن می‌باشد (مقایسه پایه‌ها مستقل از هم انجام شده است).

Figure 6. Effect of SNP treatment at levels 0, 0.1, 0.5 and 1 mM on the  $\text{Na}^+$  concentration of OHF69 and Pyrodwarf pear rootstocks leaves under  $\text{NaCl}$  stress at 0, 50, 100 and 150 mM concentrations. The same letter indicates no significant differences ( $P \leq 0.05$ ) according to Duncan's multiple range test (comparisons of rootstocks are independent of each other).

و با افزایش سطوح نیتریکاکسید غلظت پتاسیم در برگ‌ها نیز در هر دو پایه افزایش یافت (شکل ۷). کمترین غلظت پتاسیم در گیاهان تحت تنش کلریدسدیم ۱۵۰ میلی مولار مشاهده شد.

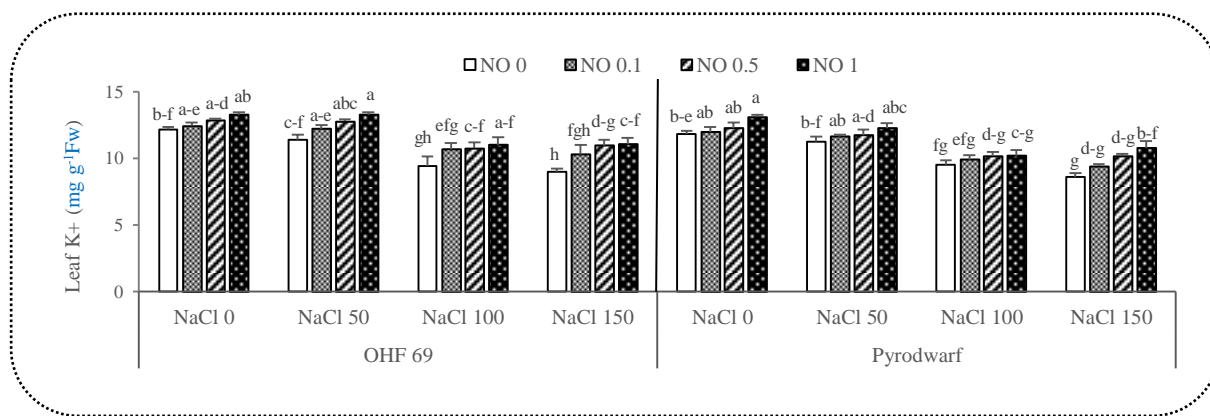
غلظت پتاسیم در برگ‌های پایه‌های سیب تحت تنش

تنش کلریدسدیم غلظت پتاسیم برگ‌های گیاهان را در پایه‌های OHF69 و Pyrodwarf کاهش داد و با افزایش غلظت کلریدسدیم محتوای پتاسیم در برگ‌ها کاهش یافت (شکل ۷). اعمال تیمار نیتریکاکسید منجر به افزایش غلظت پتاسیم در برگ‌های تحت تنش کلریدسدیم گردید

### افزایش داد.

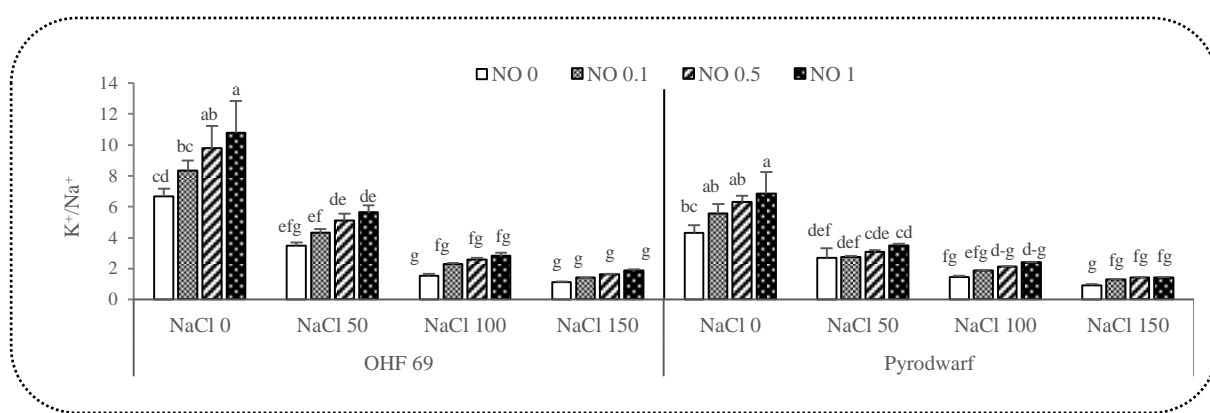
تنش کلریدسدیم تأثیر معنی داری بر نسبت پتابسیم به سدیم در برگ های پایه های گلابی داشت و با افزایش تنش کلریدسدیم نسبت پتابسیم به سدیم کاهش یافت (شکل ۸). همچنین برگ های پایه های گلابی OHF69 در مقایسه با Pyrodwarf تحت تنش کلریدسدیم ۵۰ میلی مولار، نسبت پتابسیم به سدیم بیشتری نشان دادند (شکل ۸).

شوری کاهش یافت و تیمار نیتریک اکسید، پارامترهای رشدی را بهبود داده و غلظت پتابسیم را در برگ های گیاهان افزایش داد (Khoshbakht et al., 2018). کاربرد Amiri and Eshghi, (2015; Kaya et al. 2015) Jamali et al., 2015؛ توت فرنگی (Shams et al., 2019) و فلفل (2019) با بهبود پارامترهای رشدی، غلظت پتابسیم را در گیاهان تحت تنش کلریدسدیم



شکل ۷- تأثیر تیمار سدیم نیتروپروساید در سطوح صفر، ۰، ۰.۱، ۰.۵ و ۱ میلی مولار بر غلظت پتابسیم پایه های گلابی تحت تنش شوری کلریدسدیم در غلظت های صفر، ۵۰، ۱۰۰ و ۱۵۰ میلی مولار. حروف مشابه نشان دهنده عدم وجود اختلاف معنی دار ( $P \leq 0.05$ ) بر اساس آزمون چند دامنه ای دانکن می باشد (مقایسه پایه ها مستقل از هم انجام شده است).

Figure 7. Effect of SNP treatment at levels 0, 0.1, 0.5 and 1 mM on K<sup>+</sup> concentration of OHF69 and Pyrodwarf pear rootstocks leaves under NaCl stress at 0, 50, 100 and 150 mM concentrations. The same letter indicates no significant differences ( $P \leq 0.05$ ) according to Duncan's multiple range test (comparisons of rootstocks are independent of each other).



شکل ۸- تأثیر تیمار سدیم نیتروپروساید در سطوح صفر، ۰، ۰.۱، ۰.۵ و ۱ میلی مولار بر نسبت پتابسیم به سدیم پایه های گلابی تحت تنش شوری کلریدسدیم در غلظت های صفر، ۵۰، ۱۰۰ و ۱۵۰ میلی مولار. حروف مشابه نشان دهنده عدم وجود اختلاف معنی دار ( $P \leq 0.05$ ) بر اساس آزمون چند دامنه ای دانکن می باشد (مقایسه پایه ها مستقل از هم انجام شده است).

Figure 8. Effect of SNP treatment at levels 0, 0.1, 0.5 and 1 mM on the K/Na ratio of OHF69 and Pyrodwarf pear rootstocks leaves under NaCl stress at 0, 50, 100 and 150 mM concentrations. The same letter indicates no significant differences ( $P \leq 0.05$ ) according to Duncan's multiple range test (comparisons of rootstocks are independent of each other).

شرایط غیر شور شود و آنزیم فعال‌کننده آنتی پورت  $\text{Na}^+/\text{H}^+$  که به وسیله شوری القاء می‌شود منجر به حذف سدیم سیتوزول می‌شود (Khan et al., 2015). نسبت پتاسیم به سدیم در برگ‌های پایه‌های سبب تحت تنش شوری کلریدسدیم کاهش یافت و اعمال تیمار نیتریکاکسید منجر به افزایش نسبت پتاسیم به سدیم در برگ‌ها شد (Khoshbakht et al., 2018).

نیتریکاکسید سبب محافظت در مقابل آسیب‌های ناشی از شوری می‌شود، به خصوص هنگامی که قبل و یا حداقل Siddiqui et al., 2011، درنتیجه سبب افزایش در محظوظ و فعالیت آنتی اکسیدان‌ها می‌شود (Jamali et al., 2015) و با ایجاد تعادل در جذب عناصر غذایی، جذب سدیم و کلر را کاهش داده و باعث افزایش تحمل گیاهان به شوری می‌شود. اعمال تیمار سدیم نیتروپروساید غلظت یون سدیم، نشت الکتروولیت و محتوای  $\text{H}_2\text{O}_2$  در برگ‌های گیاهان را کاهش داد و منجر به افزایش محتوای پرولین و نسبت پتاسیم به سدیم در برگ‌ها و متعاقباً بهبود پارامترهای رشدی گردید و تحمل گیاهان تحت تنش شوری را افزایش داد (Campos et al., 2019; Aras et al., 2020; Khoshbakht et al., 2018 Ahamd et al., 2016).

## نتیجه‌گیری

اعمال تیمار نیتریکاکسید آسیب‌های ناشی از شوری را کاهش داد و ویژگی‌های فیزیولوژیکی گیاه تحت تنش شوری کلریدسدیم را بهبود بخشید که متعاقباً باعث کاهش غلظت یون‌های سدیم در برگ‌ها و افزایش پتاسیم در برگ‌های پایه‌های گلابی OHF69 و Pyrodwarf و درنتیجه کاهش صدمات ناشی از تنش شوری گردید. پایه‌های گلابی OHF69 در مقایسه با پایه‌های گلابی Pyrodwarf تحمل نسبی بیشتری در مقابل تنش شوری کلریدسدیم نشان دادند. همچنین اعمال تیمار نیتریکاکسید در غلظت یک میلی‌مولار تحت تنش شوری کلریدسدیم ۵۰

گیاهان تحت تنش شوری به منظور جلوگیری از آسیب سلولی و کمبود مواد مغذی، غلظت پتاسیم را در سطوح بالا و سدیم را در سطح پایین نگه می‌دارند (Misra et al., 2011). اعمال تیمار نیتریکاکسید در گیاهان انگور تحت تنش شوری، نسبت پتاسیم به سدیم را در برگ‌های گیاهان انگور افزایش داد (Amiri and Eshghi, 2015). کاربرد نیتریکاکسید تجمع سدیم را کاهش و پتاسیم را افزایش داد و سبب افزایش عملکرد گیاه گندم شد (Kausar et al., 2013). تفاوت در تحمل شوری گونه‌های مختلف درختان ممکن است ناشی از تفاوت رشد مشاهده شده در پایه‌ها باشد که تعادل عناصر غذایی را تحت تأثیر قرار می‌دهد و نیز مرتبط با توانایی آن‌ها در کنترل جذب سدیم و کلر و توانایی آوند چوبی در بارگیری و انتقال به برگ‌های گیاه OHF69 باشد (Lu et al., 2013). در این تحقیق پایه‌های بیشتری را در مقایسه با پایه‌های پیرودواف نشان دادند (جدول ۱).

نیتریکاکسید سازگاری بیوشیمیایی را طی رشد دانه‌های کاهو تحت شرایط شوری ایجاد کرد و منجر به کاهش غلظت سدیم و افزایش سطح پتاسیم در گیاهان گردید (Campos et al., 2019). با استفاده از آنزیم‌های درگیر در سنتز نیتریکاکسید یا مواد بازدادارنده سترز آن، مشاهده شد که نیتریکاکسید تحمل گیاهان تحت تنش را افزایش می‌دهد و منجر به افزایش نسبت پتاسیم به سدیم و کاهش سطح  $\text{H}_2\text{O}_2$  در شاخساره و در نتیجه کاهش تنش اکسیداتیو در گیاهان می‌شود (Siddiqui et al., 2011; Poór et al., 2015). غلظت‌های بالاتر پتاسیم و کلسیم در شاخساره‌های گیاهان تیمار شده با نیتریکاکسید درنهایت می‌تواند برخی از صدمات القاء شده توسط شوری را کاهش دهد. نیتریکاکسید به‌طور معنی‌داری فعالیت واکرئی H<sup>+</sup>-ATPase و H<sup>+</sup>-Ppase که نیروهای محرک برای تبادل  $\text{Na}^+/\text{H}^+$  هستند را افزایش داد که می‌تواند سبب نسبت بالاتر پتاسیم به سدیم در شاخساره‌های تحت

### سپاسگزاری

از گروه محترم با غبانی دانشکده کشاورزی دانشگاه ارومیه به خاطر نهایت همکاری، تقدیر و تشکر می‌گردد.

میلی‌مولار از لحاظ اغلب پارامترهای فیزیولوژیکی، آنتی‌اکسیدانی و تعادل عناصر غذایی تفاوت معنی‌داری را با گیاهان شاهد نشان نداد که درنتیجه می‌تواند برای تحمل تنش در شرایط شوری کوتاه‌مدت مورد توجه باشد.

### منابع

- Abdollahi, H. 2011. Pear, botany, cultivars and rootstocks. Publication of Agricultural Education, Iranian Ministry of Agriculture, Tehran, Iran. 196. (In Persian).
- Ahmad, P., Abdel Latef, A. A., Hashem, A., Abd\_Allah, E. F., Gucel, S. and Tran, L. S. P. 2016. Nitric oxide mitigates salt stress by regulating levels of osmolytes and antioxidant enzymes in chickpea. *Frontiers in Plant Science*. 7: 347.
- Amiri, J. and Eshghi, S. 2015. Ion and mineral concentrations in roots and leaves of two grapevine cultivars as affected by nitric oxide foliar application under NaCl stress. *OENO One*. 49(3): 155-164.
- Aras, S., Keles, H. and Eşitken, A. 2020. SNP mitigates malignant salt effects on apple plants. *Erwerbs-Obstbau*. 62: 107-115.
- Bates, L., Waldren, R. and Teare, I. 1973. Rapid determination of free proline for water-stress studies. *Plant and Soil*. 39: 205-207.
- Campos, F. V., Oliveira, J. A., Pereira, M. G. and Farnese, F. S. 2019. Nitric oxide and phytohormone interactions in the response of *Lactuca sativa* to salinity stress. *Planta*. 250(5): 1475-1489.
- Egbichi, I., Keyster, M. and Ludidi, N. 2014. Effect of exogenous application of nitric oxide on salt stress responses of soybean. *South African Journal of Botany*. 90: 131-136.
- Fancy, N.N., Bahlmann, A.K. and Loake, G.J. 2017. Nitric oxide function in plant abiotic stress. *Plant, Cell and Environment*. 40(4): 462-472.
- Fazelian, N., Nasibi, F. and Rezazadeh, R. 2012. Comparison the effects of nitric oxide and spermidin pretreatment on alleviation of salt stress in chamomile plant (*Matricaria recutita* L.). *Journal of Stress Physiology and Biochemistry*. 8(3).
- Fu, M., Li, C. and Ma, F. 2013. Physiological responses and tolerance to NaCl stress in different biotypes of *Malus prunifolia*. *Euphytica*. 189(1): 101-109.
- Gay, C., Collins, J. and Gebicki, J.M. 1999. Hydroperoxide assay with the ferric–xylenol orange complex. *Analytical Biochemistry*. 273: 149-155.
- Hasanuzzaman, M. and Fujita, M. 2013. Exogenous sodium nitroprusside alleviates arsenic-induced oxidative stress in wheat (*Triticum aestivum* L.) seedlings by enhancing antioxidant defense and glyoxalase system. *Ecotoxicology*. 22(3): 584-596.
- Hayat, S., Yadav, S., Nasser Alyemeni, M., Irfan, M., Wani, A. S. and Ahmad, A. 2013. Alleviation of salinity stress with sodium nitroprusside in tomato. *International Journal of Vegetable Science*. 19(2): 164-176.
- Heath, R. L. and Packer, L. 1968. Photoperoxidation in isolated chloroplasts: I. Kinetics and stoichiometry of fatty acid peroxidation. *Archives of biochemistry and biophysics*. 125(1): 189-198.

- Kaya, C., Akram, N. A. and Ashraf, M. 2019. Influence of exogenously applied nitric oxide on strawberry (*Fragaria × ananassa*) plants grown under iron deficiency and/or saline stress. *Physiologia plantarum*. 165(2): 247-263.
- Jamali, B., Eshghi, S. and Tafazoli, E. 2015. Mineral composition of 'Selva' strawberry as affected by time of application of nitric oxide under saline conditions. *Horticulture, Environment, and Biotechnology*. 56(3): 273-279.
- Jogaiah, S., Govind, S. R. and Tran, L. S. P. 2013. Systems biology-based approaches toward understanding drought tolerance in food crops. *Critical reviews in biotechnology*. 33(1): 23-39.
- Khan, M. N., Mobin, M., Mohammad, F. and Corpas, F. J. Eds. 2015. *Nitric oxide action in abiotic stress responses in plants*, 51-52. Basel, Switzerland: Springer International Publishing.
- Khoshbakht, D., Asghari, M. R. and Haghghi, M. 2018. Effects of foliar applications of nitric oxide and spermidine on chlorophyll fluorescence, photosynthesis and antioxidant enzyme activities of citrus seedlings under salinity stress. *Photosynthetica*. 56(4): 1313-1325.
- Kausar, F., Shahbaz, M. and Ashraf, M. 2013. Protective role of foliar-applied nitric oxide in *Triticum aestivum* under saline stress. *Turkish Journal of Botany*. 37(6): 1155-1165.
- Liang, W., Ma, X., Wan, P. and Liu, L. 2018. Plant salt-tolerance mechanism: A review. *Biochemical and biophysical research communications*. 495(1): 286-291.
- Lin, Y., Liu, Z., Shi, Q., Wang, X., Wei, M. and Yang, F. 2012. Exogenous nitric oxide (NO) increased antioxidant capacity of cucumber hypocotyl and radicle under salt stress. *Scientia horticulturae*. 142: 118-127.
- Liu, S., Dong, Y. J., Xu, L. L., Kong, J. and Bai, X. Y. 2013. Roles of exogenous nitric oxide in regulating ionic equilibrium and moderating oxidative stress in cotton seedlings during salt stress. *Journal of soil science and plant nutrition*. 13(4): 929-941.
- Lu, Y., Li, N., Sun, J., Hou, P., Jing, X., Zhu, H. and Chen, S. 2013. Exogenous hydrogen peroxide, nitric oxide and calcium mediate root ion fluxes in two non-secretor mangrove species subjected to NaCl stress. *Tree physiology*. 33(1): 81-95.
- Manai, J., Kalai, T., Gouia, H., and Corpas, F. J. 2014. Exogenous nitric oxide (NO) ameliorates salinity-induced oxidative stress in tomato (*Solanum lycopersicum*) plants. *Journal of soil science and plant nutrition*. 14(2): 433-446.
- Mirabdulbaghi, M. 2017. The effect of salinity on physiological aspects of some grafted-pear rootstocks. *Iranian Journal of Horticultural Science*. 48(2): 347-356. (In Persian)
- Misra, A. N., Misra, M., and Singh, R. 2011. Nitric oxide ameliorates stress responses in plants. *Plant, Soil and Environment* 57(3): 95-100.
- Poór, P., Laskay, G., and Tari, I. 2015. Role of nitric oxide in salt stress-induced programmed cell death and defense mechanisms. In *Nitric Oxide Action in Abiotic Stress Responses in Plants*, 193-219. Springer, Cham.
- Repellin, A., Thi, A.P., Tashakorie, A., Sahsah, Y., Daniel, C. and Zuily-Fodil, Y. 1997. Leaf membrane lipids and drought tolerance in young coconut palms (*Cocos nucifera* L.). *European Journal of Agronomy*. 6(1-2): 25-33.
- Shams, M., Ekinci, M., Ors, S., Turan, M., Agar, G., Kul, R., and Yildirim, E. 2019. Nitric oxide mitigates salt stress effects of pepper seedlings by altering nutrient uptake, enzyme activity and osmolyte accumulation. *Physiology and Molecular Biology of Plants*. 25(5): 1149-1161.
- Siddiqui, M. H., Al-Whaibi, M. H., and Basalah, M. O. 2011. Role of nitric oxide in tolerance of plants to abiotic stress. *Protoplasma*. 248(3): 447-455.

Tamura, F. 2012. Recent advances in research on Japanese pear rootstocks. Journal of the Japanese Society for Horticultural Science. 81(1): 1-10.

Tanou, G., Filippou, P., Belghazi, M., Job, D., Diamantidis, G., Fotopoulos, V. and Molassiotis, A. 2012. Oxidative and nitrosative based signaling and associated post translational modifications orchestrate the acclimation of citrus plants to salinity stress. The Plant Journal. 72(4):585-599.

Waling, I., VanVark, W., Houba, V. J. G., and Vanderlee, J. J. 1989. Soil and plant analysis, a series of syllabi. 7: 712-717.

Wang, H., Lin, J., Li, X. G., and Chang, Y. 2015. Genome-wide identification of pear HD-Zip gene family and expression patterns under stress induced by drought, salinity, and pathogen. Acta Physiologiae Plantarum. 37(9): 1-19.

Wen, X. P., Ban, Y., Inoue, H., Matsuda, N., Kita, M., and Moriguchi, T. 2011. Antisense inhibition of a spermidine synthase gene highlights the role of polyamines for stress alleviation in pear shoots subjected to salinity and cadmium. Environmental and Experimental Botany. 72(2): 157-166.

Yang, L. T., Qi, Y. P., Chen, L. S., Sang, W., Lin, X. J., Wu, Y. L., and Yang, C. J. 2012. Nitric oxide protects sour pummelo (*Citrus grandis*) seedlings against aluminum-induced inhibition of growth and photosynthesis. Environmental and experimental botany. 82: 1-13.

Zafari, F., Amiri, M. E., Noroozisharaf, A., and Almasi, P. 2018. Physiological and Morphological Responses of the 'Dargazi'Pear (*Pyrus communis*) to in vitro Salinity. Agriculturae Conspectus Scientificus. 83(2): 169-174.

Ziogas, V., and Molassiotis, A. 2015. Nitric oxide action in the improvement of plant tolerance to nutritional stress. In *Nitric Oxide Action in Abiotic Stress Responses in Plants*, 169-180. Springer, Cham.